

카운터 밸런스 밸브를 내장한 유압 모터 브레이크 시스템의 동특성

윤 소 남·이 일 영*

부산수산대 대학원 · 부산수산대학교*

(1993년 7월 21일 접수)

A Study on Dynamic Characteristics of Hydraulic Motor Brake System with Counter Balance Valve

So - Nam YUN, Ill - Yeong LEE*

Graduate School, National Fisheries University of Pusan.

*National Fisheries University of Pusan

(Received July 21, 1993)

Counter balance valve is used as one part of hydraulic motor brake system. The function of this valve is to protect over-run or free falling of inertia load. But occasionally the brake system with counter balance valve makes some undesirable problems such as pressure surges or vibrations. These problems may hurt system safety and driver's comfortability. Nevertheless, studies on dynamic characteristics of hydraulic system including counter balance valve are very rare, so further accumulation of research results are required.

In this study, for the purpose of easy estimation about dynamic characteristics of hydraulic system including counter balance valve, precise formulation describing fluid dynamics and valve dynamics under various boundary conditions were made. The equations obtained in the preceding process include some parameters that must be got experimentally. Flow coefficients of valve and choke are the most significant ones among the parameters. So these parameters are obtained experimentally in this study, and experimental equations obtained from the experimental data were used for numerical calculation. The equations were analysed by numerical integration using Runge-Kutta method, because the equations contain various nonlinear terms. From the numerical analysis, it was verified that the dynamic response of counter balance valve and pressure variation at each elements can be estimated very easily. So the analysing method developed in this study enabled very easy estimating the relation between the perfor-

mances of counter balance valve and various physical parameters related to the valve.

Conclusively, it is said that the results obtained in this study can be used very usefully to develop a new type counter balance valve or to apply the valve to actual hydraulic system for various industrial equipments.

I. 서 론

카운터 밸런스 밸브(counter balance valve)라는 것은 말 그대로 어떠한 유압회로 내에서 유압회로의 평형을 유지시켜 주는 밸브이다. 이것은 굴삭기, 크레인, 선박의 원치 및 유압프레스와 같은 산업기계 구동용 유압 액튜에이터의 오버 런(over-run) 및 자중 낙하 방지용으로 개발된 것으로, 오늘날에 있어서는 릴리프 밸브로 이루어진 브레이크 시스템에 일체로 내장되어 유압모터에 직접 장착할 수 있어 배관공수를 절약할 뿐만 아니라, 스플내에 체크 밸브를 넣어 스마트한 회로로 구성할 수 있는 장점도 갖고 있다. 이러한 카운터 밸런스 밸브의 특성을 때문에 일반 유압회로에 널리 사용되고 있다. 그런데, 카운터 밸런스 밸브를 사용하는 유압 브레이크 시스템에서는 때때로 이상 진동의 문제, 기동 정지시의 충격 및 헌팅현상, 정지 부하 상태의 누설 문제, 급조작에 의한 폐입압의 발생 등 시스템 동특성에 여러가지의 문제가 발생할 수 있다. 이러한 문제들은 회로의 안정성과 운전자의 승차감 개선을 위해서도 매우 중요한 요소인데, 여기에 관련된 연구보고는 국내외를 막론하고 매우 드문 형편이다. 그 이유는 카운터 밸런스 밸브를 포함하는 유압계에서의 이상현상이 회로내의 각종 요소, 예를 들면 제어밸브, 액튜에이터, 관로 등의 상호 작용에 의한 자려진동에 기인하므로 해석이 용이하지 않기 때문이다. 따라서 주로 밸브의 설계는 실험 데이터에 의존하고 있다¹⁾.

카운터 밸런스 밸브를 사용하는 유압계의 동특성을 조사한 대표적인 종래의 연구로는 Kojima氏의 유압 실린더 구동계의 자려진동 연구²⁾와 Miyakawa氏의 회전 관성부하계의 안정문제의 연구

³⁾가 있다. 이들의 연구에서는 밸브의 특성을 선형화하여 안정문제와 부분적인 파라미터 고찰을 행하고 있으나, 이것으로는 개개 파라미터의 영향에 대한 엄밀한 평가가 곤란하다. 또 카운터 밸런스 밸브를 포함하는 유압계의 일반론을 확립하려면 보다 많은 연구결과의 집적이 필요하다 하겠다.

본 연구에서는 카운터 밸런스 밸브를 포함하는 회전관성 부하 구동용 유압모터계에 대하여 엄밀한 모델링을 확립하고, 여기서 얻어진 기초방정식을 Runge-Kutta해법으로 수치 적분하는 동특성 해석법의 타당성을 확인하며, 수치계산을 통하여 밸브 설계를 위한 정확한 파라미터를 도출하기로 한다.

2. 기초 방정식

본 연구에서 대상으로 하는 유압모터 브레이크 시스템의 개략을 Fig.1에 나타내었다. 이러한 유압모터 브레이크 시스템을 해석함에 있어 다음과 같은 가정을 세운다.

1) 유압원으로부터의 공급압력은 언제나 일정하다.

2) 밸브내에서의 유체력(flow force)은 무시한다.

3) 밸브 블록내에서의 압력손실중 밸브와 쇼크를 제외한 부위에서 발생하는 부차적 손실은 무시한다.

4) 각 밸브에서의 누설은 무시한다.

위의 가정하에서 카운터 밸런스 밸브, 유압모터, 회로내 각점에서의 압력의 동적 거동에 관한 지배 방정식을 세우면 아래와 같다.

(1) 방향 변환 밸브~유압모터 입구에 이르는 유로에서의 연속 방정식

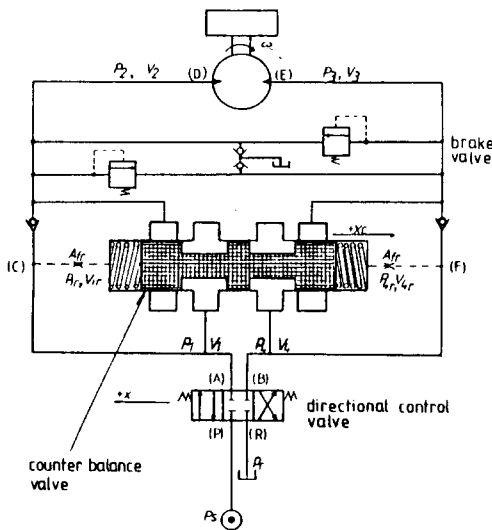


Fig. 1. Schematic diagram of experimental circuit

방향 변환 밸브의 이동방향에 따라 유로가 달라지며, 각 경우에 대한 연속 방정식은 (1)식과 같다.

$x > 0, P_1 = P_2$ 인 경우

$$cdd \cdot Ad(|x|) \sqrt{\frac{2(P_s - P_1)}{\rho}} = Dm \cdot \omega + Cdr \cdot Afr \sqrt{\frac{2}{\rho} |P_1 - P_{1r}|} + \beta(V_1 + V_2) \frac{dP_1}{dt} \quad (1)$$

$x < 0, P_3 = P_4$ 인 경우

$$= Dm \cdot \omega + Cdr \cdot Afr \sqrt{\frac{2}{\rho} |P_4 - P_{4r}|} + \beta(V_3 + V_4) \frac{dP_4}{dt} \quad (1')$$

여기서 Cdd : 방향변환 밸브의 유량계수.

$Ad(|x|)$: 방향변환 밸브의 개구면적

P_s, P_1, P_2, P_3, P_4 : 유압원, (C)점, (D)점, (E)점, (F)점의 압력

Dm : 유압모터의 용량(m^3/rev).

ω : 유압모터의 회전속도(rps)

C_{dr}, Afr : (c)점~카운터 밸런스 밸브 리테이너 간 쿠크의 유량계수 및 단면적

P_{1r}, P_{4r} : 카운터 밸런스 밸브 양끝 리테이너 내의 압력

$V_1 + V_2$: (A)~(D)점간의 체적

$V_3 + V_4$: (B)~(E)점간의 체적

β : 기름의 압축률, t : 시간

x : 방향 변환 밸브의 변위

(2) 카운터 밸런스 밸브 스플의 운동 방정식

스프링 센터형인 카운터 밸런스 밸브에서 스플의 운동 방정식은 다음식으로 표시된다.

$$As(P_{1r} - P_{4r}) = m_c \frac{d^2 x_c}{dt^2} + Ce \frac{dx_c}{dt} + 2 \cdot ks \cdot x_c \quad (2)$$

단, (2)식의 끝항은 $|x_c| < x_{co}$ 인 경우의 값이며, $|x_c| > x_{co}$ 인 경우는 $ks(|x_c| + x_{co}) \cdot sign(x_c)$ 가 된다.

여기서 As : 스플의 단면적, m_c : 스플의 질량

Ce : 스플의 마찰계수, ks : 스프링 상수

x_c : 스플의 변위

x_{co} : 스프링의 자유길이로부터의 초기 변위

(3) (C)점~ V_{1r} 간의 연속방정식

$$Cdr \cdot Afr \sqrt{\frac{2}{\rho} |P_1 - P_{1r}|} \cdot sign(P_1 - P_{1r}) = As \frac{dx_c}{dt} + \beta V_{1r} \cdot \frac{dP_{1r}}{dt} \quad (3)$$

여기서 V_{1r} 은 카운터 밸런스 밸브 좌측 끝 리테이너 체적이다.

(4) (F)점~ V_{2r} 간의 연속 방정식

$$Cdr \cdot Afr \sqrt{\frac{2}{\rho} |P_{4r} - P_4|} \cdot sign(P_{4r} - P_4) = As \frac{dx_c}{dt} + \beta V_{4r} \cdot \frac{dP_{4r}}{dt} \quad (4)$$

(5) 유압모터 및 부하의 운동 방정식

$$Dm(P_1 - P_3) = J \cdot \frac{d\omega}{dt} + Tf(\omega) \quad (5)$$

여기서 J : 유압모터 및 부하의 관성 모멘트
 $T f(\omega)$: 유압모터 부하계의 마찰 손실 토크의 총합

(6) 유압모터 출구~카운터 밸런스 밸브 입구 간 유로에서의 연속방정식

$$Dm \cdot \omega = Cdc \cdot Ac(|x_c|) \sqrt{\frac{2}{\rho}(P_3 - P_4)} + \beta V_3 \cdot \frac{dP_3}{dt} \quad (6)$$

여기서 Cdc : 카운터 밸런스 밸브의 유량계수
 $Ac(|x_c|)$: 카운터 밸런스 밸브의 개구면적

(7) 카운터 밸런스 밸브~(R)점 간의 유로에서의 연속방정식

① $x > 0$ 인 경우

$$\begin{aligned} Cdd \cdot Ad \cdot (|x_c|) \sqrt{\frac{2}{\rho}(P_4)} \\ = Cdc \cdot Ac(|x_c|) \sqrt{\frac{2}{\rho}(P_3 - P_4)} + Cdr \cdot Afr \sqrt{\frac{2}{\rho} |P_{4r} - P_4|} \\ \cdot sign(P_{4r} - P_4) - \beta V_4 \frac{dP_4}{dt} \end{aligned} \quad (7)$$

② $x < 0$ 인 경우

$$\begin{aligned} Cdd \cdot Ad \cdot (|x_c|) \sqrt{\frac{2}{\rho}(P_1)} \\ = Cdc \cdot Ac(|x_c|) \sqrt{\frac{2}{\rho}(P_2 - P_1)} + Cdr \cdot Afr \sqrt{\frac{2}{\rho} |P_{1r} - P_1|} \\ \cdot sign(P_{1r} - P_4) - \beta V_4 \frac{dP_4}{dt} \end{aligned} \quad (7')$$

3. 수치 시뮬레이션

위의 기초방정식에 나타난 변수 P_1 , x_c , P_{1r} , P_{4r} , ω , P_3 , P_4 의 동적인 거동을 조사하기 위하여, 7개의 비선형 미분방정식을 4계의 Runge-Kutta해법을 사용하여 연립으로 수치

적분한다. 입력으로 방향 변환 밸브의 변위 x 를 가한다. 시뮬레이션시의 정수치들은 아래와 같다.

$$\rho = 8.72 (\text{kg/m}^3), P_s = 17 \text{ MPa}, D_m = 3.4 \times 10^{-5} (\text{m}^3/\text{rev}), A_f = 7.4 \times 10^{-7} (\text{m}^2)$$

$$\beta = 5.4 \times 10^{-10} (\text{m}^2/\text{N}), V_1 = V_2 = V_3 = V_4 = 7.8 \times 10^{-5} (\text{m}^3), C_e = 350 (\text{Ns/m})$$

$$k_s = 6566 (\text{N/m}), x_{\infty} = 0.021(\text{m}), A_s = 3.14 \times 10^{-4} (\text{m}^2)$$

$$V_f = 1.2 \times 10^{-5} (\text{m}^3), J = 31.25 (\text{kg.m}^2), T_f = 68 (\text{N.m})$$

$$A_d(|x|) = 0.01 \times |x| (\text{m}^2), A_c(|x_c|) = 0.01 \times |x_c|$$

$$C_{dr} = 1/2.28 + 16 \pi \cdot \nu \cdot l/Q$$

[단, ν : 기름의 동점성 계수(m^2/s) l : choke의 길이(m) Q : 유량(m^3/s)]

C_{dd} , C_{dc} : 실험 결과를 근사하여 사용

Fig. 1의 회로에서 브레이크 밸브의 작동시에는 위의 기초방정식들 만으로 해석이 곤란하므로 P_1 , P_3 의 계산치가 다음 조건을 만족시킬 때는 브레이크 밸브 작동으로 간주하여 P_1 , P_3 값을 특정 값으로 대치시킨다.

$$P_1 \leq 0 \rightarrow P_1 = 0, P_1 > P_{max} \rightarrow P_1 = P_{max}$$

$$P_3 \leq 0 \rightarrow P_3 = 0, P_3 > P_{max} \rightarrow P_3 = P_{max} \quad (8)$$

여기서 P_{max} 는 브레이크 밸브 설정압력이며, 일 반적으로 브레이크 밸브 설정압력 $P_{max} = P_1 \times 1.1$ 의 값으로 설정한다.

4. 시뮬레이션 결과 및 고찰

Fig. 2에 시뮬레이션 결과의 일례를 나타내었다. 그림(a)는 방향변환 밸브의 변위를 나타낸 것으로, 그림(b)~(h)는 (a)와 같은 입력에 따른 각 물리량들의 동특성을 나타내고 있다.

그림(b)로부터 카운터 밸런스 밸브의 응답은 매우 빠르며, 방향 변환 밸브가 완전히 열리기 이전에 스토로크 앤드에 도착하고 있음을 알 수 있다. 이것은 유압모터의 정마찰 때문에 압력 P_1 이

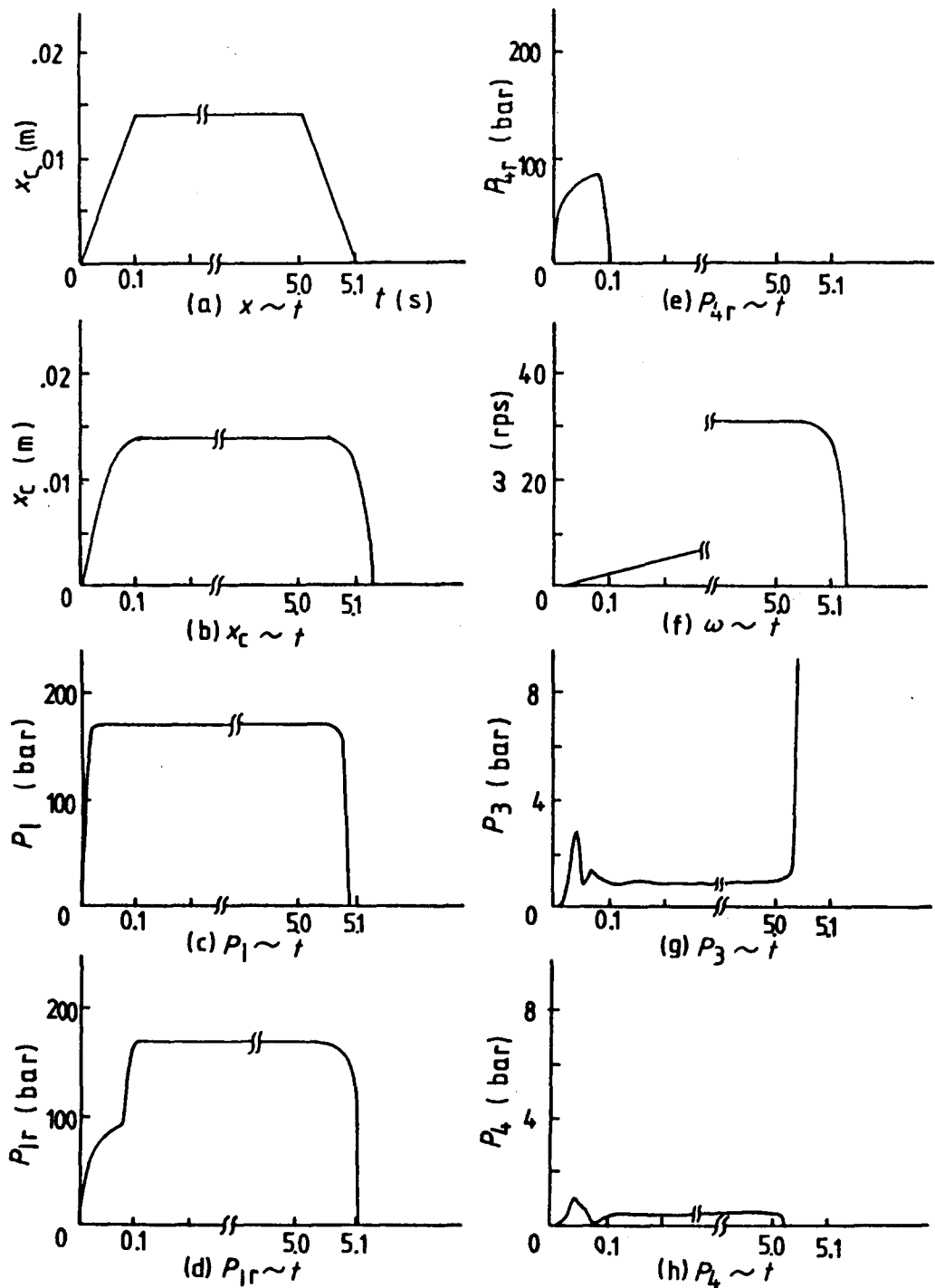


Fig. 2. Results of numerical analysis

카운터 밸런스 밸브를 내장한 유압모터 브레이크 시스템의 동특성

매우 단시간에 최종치 부근의 값까지 상승하기 때문이다. 그럼 (f)에서 회전 관성 부하의 가속에는 비교적 긴 시간이 소요됨을 알 수 있다.

유압 모터를 정지시키기 위하여 방향 변환 밸브를 중립 위치로 작동시키면 브레이크가 작동하며, 이 때의 동작 특성이 Fig.2(a) - (h)의 시각 5 s 이후에 나타나 있다. 방향 변환 밸브를 중립 위치로 조작하면 카운터 밸런스 밸브도 역시 중립 위치로 돌아가게 되며, 이 때 유압 모터는 관성에 의하여 순간적으로 펌핑 작용을 일으킨다. 이 때 회로내에 급격한 압력 상승의 발생을 억제하여 유연하게 부하를 정지시키도록 릴리프 밸브가 작동하게 된다. 회로의 동특성을 염밀하게 분석하려면 릴리프 밸브의 동작 특성도 고려해야 할 것이다.

5. 결 론

이상 본 연구에서는 카운터 밸런스 밸브를 포함하는 회전관성 부하구동용 유압모터계에 대하여 염밀한 모델링을 확립하고, 여기서 얻어진 기초방

정식을 사용하여 수치 시뮬레이션을 행하여 동특성 해석법의 타당성을 확인하였다. 따라서 본 해석법을 이용함으로서 카운터 밸런스 밸브의 설계파라미터 즉, 스프링 상수, 쇄크의 형상 및 크기, 스펀상의 노치 등이 유압모터계의 동특성에 미치는 영향을 손쉽게 파악할 수 있게 되었다.

현재 우리나라에서는 카운터 밸런스 밸브는 미국, 일본과 기술 제휴로 조립 생산만을 하고 있으므로 금후 카운터 밸런스 밸브의 개발이나 시스템의 실제 응용에 본 연구의 성과가 유용하게 사용될 것으로 기대한다.

참고문헌

- 1) Takahashi, I.(1976) : Ebara Engineering Review, Vol.16, No.64, 173.
- 2) Kojima, E.(1977) : Journal of JHPS, Vol. 8, No.2, 56.
- 3) Miyakawa, S.(1978) : Bulletin of JSME, Vol.21, No.162, 1750.